Givrage d'une pompe à chaleur



Question simple

Représenter le schéma modélisant le principe de fonctionnent d'une pompe à chaleur ou PAC ditherme.

Calculer l'efficacité d'une PAC ditherme réversible entre un air extérieur à 7°C pour chauffer un local à 35°C

Indiquer la variation de l'efficacité lorsque la température extérieure passe de 7°C à 6°C

Question ouverte

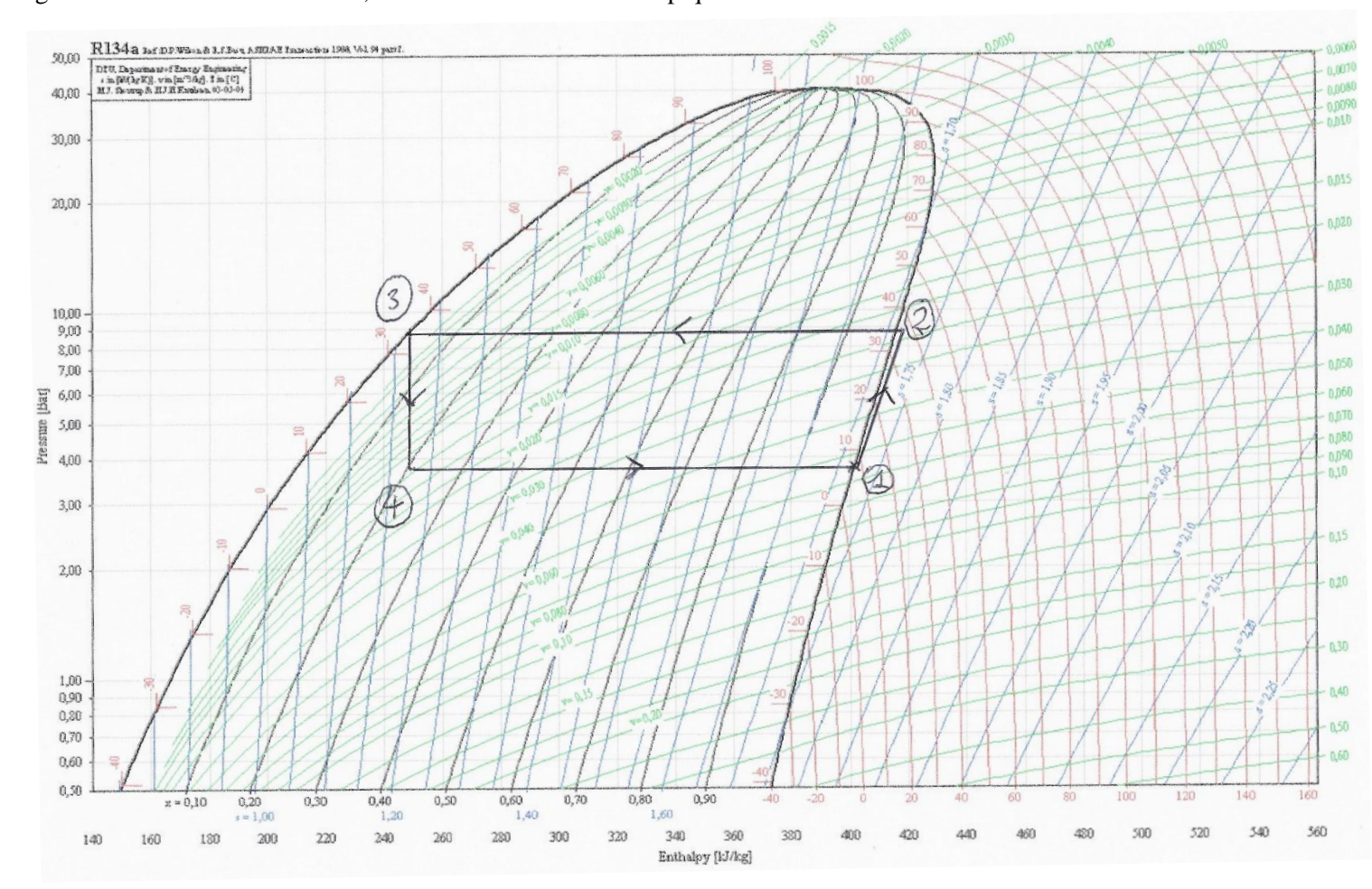
- 1) A l'aide du document 1, déterminer l'efficacité réelle de la PAC pour une température extérieure de 7°C. Discuter de son évolution si la température de la source froide est abaissée à 5°C.
- 2) Le <u>document 2</u> illustre l'impact du givre, qui se forme au niveau de l'évaporateur, sur l'efficacité de la PAC en dessous de 6°C.
 - Proposer une expliquer qualitative de ce phénomène ainsi que de son impact sur l'efficacité de la PAC illustré sur le document 2.
 - Proposer un modèle simple pour estimer le rapport de puissances thermiques échangée entre le fluide et l'évaporateur avec une couche de givre d'1,0 mm et sans givre $r = P_g/P$ moyennant les données suivantes:

Conductivité thermique du givre : $\lambda_g = 1.0 \; W \cdot m^{-1} \cdot K^{-1}$

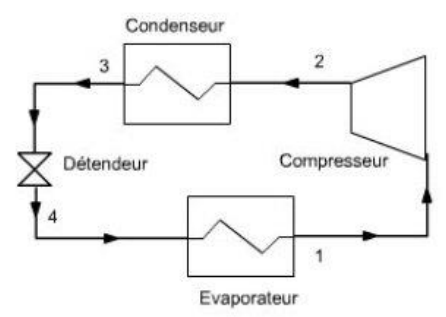
Coefficient de Newton à l'interface air / évaporateur sans givre : $h_e = 50~W \cdot m^{-2} \cdot K^{-1}$ Coefficient de Newton à l'interface air / évaporateur avec givre : $h_g = 20~W \cdot m^{-2} \cdot K^{-1}$

Document 1 : Cycle réel du fluide caloporteur de la PAC

Le fluide caloporteur R134a de la PAC décrit le cycle réel suivant dans le diagramme (P,h) dit de Mollier (P:pression;h:enthalpie massique). Sur ce diagramme, on peut identifier la courbe de saturation composée de la courbe d'ébullition (liquide saturé, x=0, courbe de gauche) et la courbe de rosée (vapeur saturante sèche, x=1, courbe de droite). On peut également identifier les isotitres, les isothermes et les isentropiques.

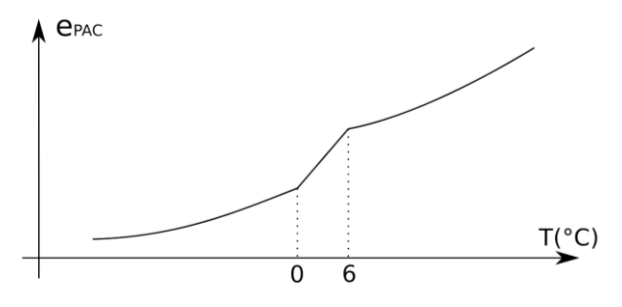


- $1 \rightarrow 2$: compression adiabatique et réversible de la vapeur juste saturante
- $2 \rightarrow 3$: refroidissement isobare puis liquéfaction totale au contact de la source chaude à une température de 35°C
- 3 → 4 : détente isenthalpique
- $4 \rightarrow 1$: vaporisation au contact de la source froide à une température de 7°C



Document 2 : Evolution de l'efficacité de la PAC en fonction de la température extérieure

En-dessous de 6°C, il peut apparaître du givre sur l'évaporateur : l'eau contenue dans l'air extérieur au contact de la surface froide de l'évaporateur peut se condenser pour former une couche de givre. Cela a des conséquences sur l'efficacité de la PAC comme le montre le graphique ci-dessous.



Correction

Question simple

Voir cours.
$$e_{PAC,r\'{e}versible} = \frac{T_C}{T_C - T_F}$$

AN:
$$e_{PAC,r\'eversible}(7^{\circ}C) = 12,5$$
 $e_{PAC,r\'eversible}(6^{\circ}C) = 12,0$

L'efficacité d'une PAC diminue lorsque la température de la source froide diminue (pour une même température de source chaude).

Question ouverte
1)
$$e_{PAC} = \frac{-Q_c}{W} = \frac{-q_c}{w_{12}} = \frac{-q_{23}}{w_{12}}$$

Premier principe en système ouvert : $\Delta h = w' + q$

Sur
$$1 \rightarrow 2$$
: $\Delta h_{12} = w'_{12} + q_{12}$ la transformation est adiabatique donc $q_{12} = 0$ On en déduit : $w'_{12} = \Delta h_{12} = h_2 - h_1$

Sur
$$2 \rightarrow 3$$
: $\Delta h_{23} = w'_{23} + q_{23}$ la transformation s'effectuant en absence de travail utile (pas de pièce mobile dans le condenseur) donc $w'_{23} = 0$
On en déduit : $q_{23} = \Delta h_{23} = h_3 - h_2$

Bilan :
$$e_{PAC} = \frac{-q_{23}}{w_{12}} = \frac{h_2 - h_3}{h_2 - h_1}$$

AN (lecture des enthalpies massiques sur le diagramme fourni) :
$$e_{PAC} = \frac{h_2 - h_3}{h_2 - h_1} = \frac{420 - 245}{420 - 400} = 8,8$$

 $e_{PAC} < e_{PAC,réversible}$ ce qui signifie que le cycle ne fonctionne pas de manière réversible.

2) Approche qualitative : le givre peut se former au niveau de l'évaporateur à des températures basses mais positives (notamment si l'air est très humide) car le fluide caloporteur reçoit sur cette étape (4 à 1) de l'énergie de la part de l'air extérieur, qui se refroidit dont localement d'autant plus, ce qui permet alors l'apparition de

La couche de givre conduit à l'augmentation de la résistance thermique air / fluide caloporteur et diminue donc l'échange thermique entre le fluide caloporteur et l'air extérieur : l'étape $4 \rightarrow 1$ se fait alors beaucoup plus mal, la PAC devient moins efficace comme le montre le graphique du document 2.

Approche quantitative:

$$P = \frac{\Delta T}{R_{th}} = \frac{T_{fluide} - T_{air}}{R_{th}}$$

Sans givre, en considérant que seul l'échange conducto-convectif est à considérer, Pe est donnée par la loi de Newton $P_e = h_e S \times (T_{fluide} - T_{air})$ où S est la surface de contact (supposée plane entre l'air extérieure), et $R_{the} = \frac{1}{h_e S}$

Avec givre, il faut aussi compter en plus de l'échange conducto-convectif, la conduction à travers la couche de givre. Les résistances thermiques s'ajoutent (en série) : $R_{thg} = \frac{1}{h_a s} + \frac{e_g}{\lambda_a s}$

$$\Longrightarrow P_g = \frac{T_{fluide} - T_{air}}{R_{thg}} = \frac{T_{fluide} - T_{air}}{\frac{1}{h_g S} + \frac{e_g}{\lambda_g S}}$$

On en déduit :
$$r = \frac{P_g}{P} = \frac{\frac{1}{\frac{1}{h_g S} + \frac{e_g}{\lambda_g S}}}{h_e S} = \frac{1}{h_e S \times \left(\frac{1}{h_g S} + \frac{e_g}{\lambda_g S}\right)} = \frac{1}{\frac{h_e}{h_g} + \frac{e_g h_e}{\lambda_g}}$$

L'AN donne : r = 0.39, ce qui indique que la perte d'échange thermique entre le fluide et l'évaporateur, selon ce modèle simple, est très importante avec une couche de givre.